



# 改进的 BAF 工艺在工业废水处理中的应用

孙力平 侯红娟 林荣忱

**提要** 介绍了改进的 BAF(生物曝气滤池)工艺中 BOD 去除率与 BOD 容积负荷率、停留时间之间的关系,生物膜在滤料上的生长规律,反冲洗操作控制过程,并列举了改进的 BAF 工艺在工业废水处理中的应用实例。

**关键词** BAF 工艺 改进 工业废水 应用

生物膜法与活性污泥法相比,具有污泥世代时间长,便于维护等特点。为了解决生物膜法处理水溢流不够清澈的问题,法国 OTV 公司开发了一个生物充气过滤设备,该工艺包括生物膜和过滤,不需要二沉池,简称为 BAF 工艺流程<sup>[1]</sup>。

在美国和欧洲,BAF 工艺主要是为城市污水处理而开发的。使用这一流程的第一套装置是在靠近巴黎的 soissons 的污水处理厂,该工艺的主要处理对象是 BOD 和氮的硝化<sup>[2]</sup>。

日本近年来将 BAF 工艺设备应用于工业废水处理。为了适应不同的工业废水水质,防止设备堵塞,对 BAF 设备的下部结构作了相应的改进,在工业废水处理中取得了较好的效果,且具备一定的推广价值。现介绍如下。

## 1 传统 BAF 工艺

### 1.1 传统 BAF 工艺设备简介

BAF 工艺流程见图 1。BAF 采用颗粒介质(滤料)以及水流淹没式下向流,这两方面与重力砂滤池相同。与其不同的是:①滤料直径是 3~6mm(其作用似同生物膜载体);②直接在滤料层中安装工艺空气扩散管。

当废水进入设备上部,并通过颗粒层下向流动时,气泡释放氧,滤料表面上的微生物分解有机物并完成氮的硝化。当介质层截留的悬浮固体增多、生

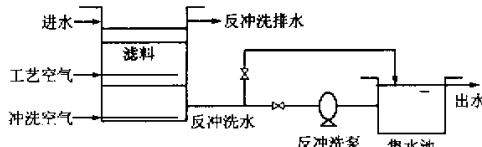


图 1 BAF 工艺流程

物膜变厚,介质层的水头损失随处理的进行而增加或是出现颗粒穿透时,设备停止运行,进行反冲洗清除滤料层中的过量污泥,并使其排出反应器。

### 1.2 传统 BAF 流程的特点

(1) 节省占地:由于生物处理与过滤可同时进行,故不需要设二沉池,并因 BOD 负荷较高,故安装空间相对较小。

(2) 能耗小:氧转移效率高,其原因:一是因空气和液体逆流,二是因气泡与滤料碰撞以迂回方式上浮。

(3) 易于维护:与活性污泥工艺相比,污泥不需要回流。同时,不会发生污泥堵塞和生物膜老化剥落现象,与重力砂滤工艺相同,运行是连续的,而且易于维护管理。

## 2 改进的 BAF 工艺

### 2.1 设备的改进

在工业废水处理中,要有效地应用 BAF 工艺,必须确保设备在运行中不发生堵塞现象。为此,须对传统的 BAF 设备进行改进,改进内容集中在如图 2 所示的底部结构上<sup>[3]</sup>。首先,去掉滤头(水收集嘴),在新装的穿孔水收集管(孔径小于 10mm)上放上砂砾层;其次,把工艺空气扩散管从滤料层降低到砂砾层中,目的是防止脱落的生物膜或滤料碎屑堵塞工艺空气扩散孔。

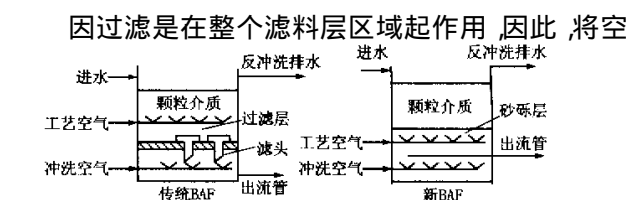


图 2 新 BAF 与传统 BAF 工艺比较



气扩散管降低到砂砾层中，并未降低过滤效率。改进工艺还促进了气泡均匀分布，使整个滤料(颗粒介质)层成为一个有氧区并在其中进行着有效的好氧生物处理，有助于节省充气量<sup>[4]</sup>。

## 2.2 反冲洗

反冲洗操作控制程序如下：

- (1)关闭工艺空气供气阀和集水池的出水阀；
  - (2)打开中间排水阀(安装在滤料层的上边缘以上300mm)降低水位3min；
  - (3)空气冲洗3min,  $q_{\text{气}} = 1.0 \text{ m}^3 / (\text{m}^2 \cdot \text{min})$ ；
  - (4)气水同时反冲洗2min,  $q_{\text{水}} = 0.45 \text{ m}^3 / (\text{m}^2 \cdot \text{min})$ ,  $q_{\text{气}} = 1.0 \text{ m}^3 / (\text{m}^2 \cdot \text{min})$ ；
  - (5)停1min；
  - (6)重复上面的(2)；
  - (7)重复上面的(4)；
  - (8)水洗4min,  $q_{\text{水}} = 0.9 \text{ m}^3 / (\text{m}^2 \cdot \text{min})$ ；
  - (9)重复以上的(2)。每次反冲洗作业大约花费21min, 反冲洗排水中的SS为0.7~1.0kg/m<sup>3</sup>介
- 质, 反冲洗间隔为10.5h(预计安全余量)。

## 2.3 BOD去除

图3所示为BOD负荷与BOD去除率的关系, 当BOD负荷3kg/(m<sup>3</sup>·d)时BOD去除率在90%以上。

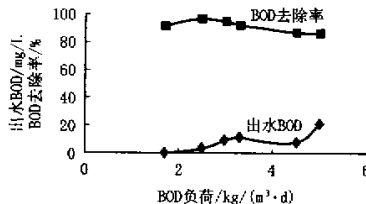


图3 BOD负荷与BOD去除率的关系

BOD去除的速率方程, 近似于一次方程, 可以采用下述方程：

$$S_e / S_o = -kt \quad (1)$$

$$t = 1440(\epsilon \cdot V/Q) \quad (2)$$

$$N_V = (S_o \cdot Q \cdot 10^{-3}) / V \quad (3)$$

式中  $S_o$ —流入液BOD mg/L；

$S_e$ — $t$ 分钟之后的BOD mg/L；

$t$ —停留时间 min；

$k$ —BOD去除的速率常数,  $\text{min}^{-1}$ , 一般为 $(0.1 \sim 0.2)^3$ , 最小为0.07；

$V$ —滤料层的容积  $\text{m}^3$ ；

$Q$ —流量  $\text{m}^3/\text{d}$ ；

$\epsilon$ —滤料层的空隙率 取0.5。

## 2.4 附着生物膜

改进的BAF工艺运行中, 颗粒介质(滤料)上附着的生物膜量与滤料体积之比值从滤料层上边缘到1000mm深度, 最大为7000mg/L, 但在1500mm的深度则小到5000mg/L, 生物膜的厚度为50~70μm<sup>[5]</sup>。

附着到颗粒介质(滤料)上的生物膜量列于表1。

表1 颗粒介质(滤料)上的生物膜量

介质厚度 / mm	生物膜量与滤料重量之比 / mg/g	生物膜量与滤料体积之比 / mg/L	生物膜厚度 / μm
500	9.15	7 320	72
1 000	8.79	7 030	69
1 500	6.20	4 960	49

## 3 改进的BAF工艺在工业废水处理中的应用实例

### 3.1 纸板厂废水处理

#### 3.1.1 处理流程

某纸板厂废水流量33 000 m<sup>3</sup>/d, SS 300mg/L, BOD 180mg/L, COD 378mg/L。原处理工艺流程是: 废水总量先经过絮凝沉淀后, 其中15 000 m<sup>3</sup>/d溢流循环使用, 剩下的18 000 m<sup>3</sup>/d用普通生物滤池工艺处理后排放, 但该工艺处理效果不甚理想。改造后将通过普通生物滤池工艺的废水处理量减少至6 000 m<sup>3</sup>/d, 其余的12 000 m<sup>3</sup>/d进入BAF。工艺流程如图4。

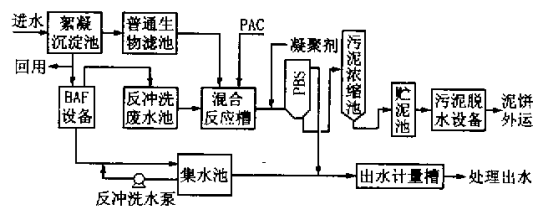


图4 纸板厂废水处理流程

因该处理流程是在原处理流程基础上进行改造的, 安装面积有限, 故处理方案把BAF工艺的反冲洗水与生物滤池出水混合, 并应用PBS(Pellet Blanket Separator)使混合液泥水分离。

#### 3.1.2 运行条件及结果

BAF工艺流程的运行条件及处理结果见表2。



表 3。

表 2 BAF 工艺运行条件( 纸板厂废水处理 )

项目	数值
流量/m <sup>3</sup> /d	11 000~12 000( 11 500 )
滤速 L <sub>v</sub> /m/d	36~39
BOD 负荷/kg/( m <sup>3</sup> ·d )	2.8~3.9
供气量/m <sup>3</sup> /h	1 120

表 3 BAF 工艺运行结果( 纸板厂废水处理 )

项目	进水	出水	去除率/%
温度/℃	24~26	24~26	
pH	6.3~6.6	6.4~6.8	
透明度/cm	21~35( 26 )	43~>50( >50 )	
浊度/NTU	24~32( 28 )	8~12( 10 )	58~68( 64 )
SS/mg/L	14~25( 20 )	4~7( 5 )	70~78( 73 )
COD <sub>Mn</sub> /mg/L	150~187( 168 )	25~30( 27 )	83~84( 84 )
BOD/mg/L	146~201( 170 )	6~11( 8 )	94~97( 96 )

由表 2、表 3 看出 :①在滤速 36~39m/d、BOD 负荷 2.8~3.9kg/( m<sup>3</sup>·d )的处理条件下 ,BOD 去除率达 94%~97% ,SS 去除率达 78% ,处理效果很好 ;②去除每 kgBOD 的充气量为 12~17m<sup>3</sup>( 平均值 15m<sup>3</sup> )。

### 3.2 印染废水处理

改进的 BAF 工艺还被成功地应用于印染废水处理 ,图 5 所示为处理流程。该厂设置了一个平衡池 ,用以调节水质水量。同时反冲洗 BAFF 废液也返回到平衡池。

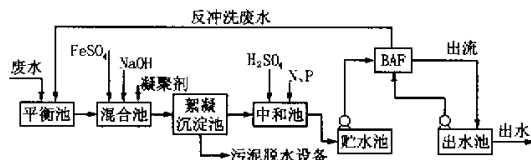


图 5 印染废水处理流程

运行条件和水质处理结果列于表 4、表 5。与处理纸板厂废水的情况相比 ,BOD 去除率稍低一点 ,推测原因是由于其基质不同所致。

### 4 结论

改进的 BAF 通过对滤头增加砂砾层厚度并在砂砾层中放置充气扩散管 ,在保证过滤效率的前提下 ,完全防止了设备堵塞 ,由于空气扩散点的降低 ,使整个滤料层均处在有氧状态 ,有助于好氧生物反应的进行。

表 4 BAF 工艺运行条件( 印染废水处理 )

项目	数值
流量/m <sup>3</sup> /d	240
滤速 L <sub>v</sub> /m/d	36
BOD 负荷/kg/( m <sup>3</sup> ·d )	1.3~2.6
供气量/m <sup>3</sup> /h	23

表 5 BAF 工艺运行结果( 印染废水处理 )

项目	进水	出水	去除率/%
温度/℃	22~25	22~24	
pH	7.2~7.7	7.2~7.6	
色度/度	120~260( 200 )	100~260( 160 )	0~40( 19 )
SS/mg/L	16~33( 23 )	4~7( 5 )	56~88( 72 )
COD <sub>Mn</sub> /mg/L	89~119( 104 )	49~64( 55 )	39~54( 47 )
BOD/mg/L	71~140( 98 )	6~13( 11 )	85~91( 88 )

改进的 BAF 不会发生填料堵塞及膜的老化剥落现象 ,与重力砂滤池的运行状况相似 ,运行是自动的 ,解决了生物接触氧化工艺的膜更换问题 ,同时还具备了 SS 去除效率高 ,无需设置二沉池的特点。

改进的 BAF 工艺应用于工业废水处理( 纸板厂废水和印染废水 ),其 BOD 负荷在 3kg/( m<sup>3</sup>·d )以下 ,BOD 去除率达 90% 左右 ,出水 SS 在 10mg/L 以下。去除每 kgBOD 所需充气量低于 15m<sup>3</sup> ,水气比为 1:2.34 ,远远小于生物接触氧化工艺处理印染废水的水气比 1:20<sup>[6]</sup>。

### 参考文献

- Leglise J P ,Gilles P ,and Moreaud H. A New Development in the Biological Aerated Filter Bed Technology. Paper presented at the 53rd Annual Water Pollution Conference. Las Vegas Nevada USA ,October ,1980. 10 :15~17
- Lubin G R. The Biological Aerated Filter-Progress of Development in the USA. Form Proceedings of the 9th Technical Seminar on Sewage Treatment between the USA and Japan ,1983
- Fuchu Y. BIOPAC Process( III ). Ebara-Infilco Engineering Review ,1986. 94 5~6
- Fuchu Y. Organic Wastewater Treatment by Biogilm Filter. Journal of Water and Waste ,1986 25( 5 ) 224~225
- Reiber S Stensel D. Biologically enhanced oxygen transfer in a fixed-film system. J WPCF ,1985 57( 2 ):13~14
- 张自杰 ,等编著. 排水工程( 下 )第三版. 北京 :中国建筑工业出版社 ,1996

▲作者通讯处 300381 天津城市建设学院市政与环境工程系

电话 (022) 23699498 23792737

收稿日期 2000-3-23